

## Various Optical Effects in the Structural Colors of Insect and Bird

Shinya Yoshioka and Shuichi Kinoshita

abstract: Including a jewel beetle, many species of insects, birds and fish have surprisingly brilliant colors. These colors are called structural colors since they essentially originate from the microstruc-

tures that can be considered as natural examples of photonic materials. As the research in photonics proceeds rapidly, the structural colors of animals have attracted a lot of attention lately. The comprehensive coloration mechanisms have been discovered utilizing not only microstructures but also large-size structures and the correspondence with vision.

## 最近の研究から

# 磁気双極子相互作用するボース・アインシュタイン凝縮体

川口由紀 〈東京大学大学院理学系研究科 113-0033 東京都文京区本郷 7-3-1 e-mail: yuki@cat.phys.s.u-tokyo.ac.jp〉

斎藤弘樹 〈電気通信大学量子・物質工学科 182-8585 調布市調布ヶ丘 1-5-1 e-mail: hsaito@pc.uec.ac.jp〉

上田正仁 〈東京大学大学院理学系研究科 113-0033 東京都文京区本郷 7-3-1 e-mail: ueda@phys.s.u-tokyo.ac.jp〉

希薄な原子気体に働く磁気双極子相互作用は非常に微弱であるが、原子気体がひとたびボース・アインシュタイン凝縮すれば巨視的な現象を起こしうる。特にスピン内部自由度を持った凝縮体(スピノル BEC)では、スピンの空間構造(テクスチャ)の形成を通して超流動やスピン流を生じさせることができた。本稿では、スピノル BEC の基本的な性質について解説した後に、双極子相互作用のもたらす凝縮体の新奇な性質を紹介する。

### 1. はじめに

ボース・アインシュタイン凝縮体(Bose-Einstein condensate, BEC)とは、ボース粒子の対称性によって巨視的な数の粒子がある一粒子状態に凝縮した状態である。BEC 中では巨視的な数の粒子がコヒーレントに振る舞うために、通常は熱揺らぎによって消えてしまうような低エネルギーの物理でも、凝縮が起こることで粒子数の分だけ増幅されて観測が可能になる。例えば、ヘリウム 3 の超流動(スピン 3 重項 p 波クーパー対の BEC)における磁気双極子相互作用は凝縮エネルギーのわずか 1 万分の一であるが、クーパー対の構造を決める上で本質的に重要であることが知られている。同様に、冷却原子気体の BEC における磁気双極子相互作用も非常に微弱ながら巨視的な効果を生むことが最近明らかになってきた。

冷却原子気体 BEC とは、磁場やレーザー光を用いて真空中に浮かせた約 100 万個の原子集団がボース凝縮を起こしたもので、温度が数 100 nK、密度が空気よりも 5 衍も希薄という超低温・超低密度の気体である。従来の超伝導・超流動に比べ、相互作用の強さを始めとした様々なパラメータを何衍も変化させることができ、かつ精密に制御できる点が最大の特徴である。

原子間の相互作用の主要項はハードコア斥力とファン・デル・ワールス力であるが、原子気体が超低温・超低密度であるために、事実上、2 原子がほとんど同じ場所に来たときのみ相互作用が働き、原子間距離の  $\delta$  関数で近似することができる。以下ではこれを短距離力と呼ぶ。

これに対し、双極子相互作用は原子間距離の  $-3$  乗で減衰する長距離力である。磁気双極子相互作用は原子の磁気モーメント間に働く古典電磁気学的な力であり、原子スピンを  $\mathbf{F}_{1,2}$  として、

$$V_{dd}(r) = \frac{\mu_0}{4\pi} (g\mu_B)^2 \frac{\mathbf{F}_1 \cdot \mathbf{F}_2 - 3(\mathbf{F}_1 \cdot \hat{r})(\mathbf{F}_2 \cdot \hat{r})}{r^3} \quad (1)$$

で与えられる。ここで、 $\mu_0$  は真空の透磁率、 $\mu_B$  はボア磁子、 $g$  はランデの  $g$  因子、 $r$  は 2 原子の相対座標で  $r = |\mathbf{r}|$ 、 $\hat{r} = \mathbf{r}/r$  である。原子の磁気モーメント  $\mu$  はスピン  $\mathbf{F}$  を用いて  $\mu = g\mu_B \mathbf{F}$  と表される。(1) 式より、双極子相互作用は長距離力であることに加えて、 $r$  と  $\mu$  の相対角に依存した異方的な力であることがわかる。この異方的長距離力という特徴は、凝縮体の形状を変えたときに顕著に確認できる。図 1 に示すように、スピンを縦に並べた場合(左)は双極子相互作用は引力として働き、スピンを横に並べた場合(右)は斥力として働く。つまり、双極子相互作用の実効的

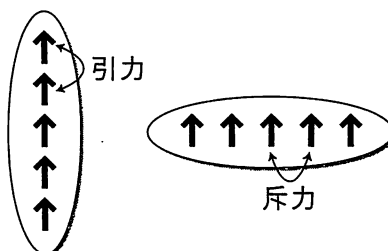


図 1 双極子相互作用の異方性。双極子モーメントを縦に並べると引力、横に並べると斥力が働く((1)式参照)。

な符号は BEC の形状とスピンの向きに依存する。引力が強い BEC はトラップ中でも安定に存在できないため、双極子相互作用の強い BEC を縦長のトラップに入れ、スピンを長軸方向に偏極させると崩壊が起こる。

しかし、原子気体 BEC は非常に希薄で平均原子間距離が大きいために、一般に磁気双極子相互作用は非常に弱い。アルカリ原子の場合、磁気モーメントの最大値は最外殻にある電子 1 個分の  $\mu_B$  であり、実験でよく用いられるルビジウム ( $^{87}\text{Rb}$ ) 原子の超微細スピンが 1 の状態では  $\mu = -\mu_B/2$  ( $g = -1/2, F = 1$ ) となる。 $r$  を平均原子間距離として双極子エネルギーを評価すると、 $^{87}\text{Rb}$  原子の場合は約 0.1 nK で、短距離力によるハートリーエネルギーの 0.1% しかない。これに対し、2005 年にシットウッドガルト大学のグループがクロム ( $^{52}\text{Cr}$ ) 原子の BEC を実現し、双極子相互作用が強い系として注目を集めている。<sup>1)</sup>  $^{52}\text{Cr}$  原子は最外殻電子を 6 個持つため、磁気モーメントが  $6\mu_B$  ( $g = 2, F = 3$ ) となり  $^{87}\text{Rb}$  原子の 12 倍、双極子エネルギーになると 144 倍強くなる。それでも双極子相互作用は短距離力の 1 割程度なのだが、シットウッドガルト大学のグループは、さらにフェッシュバッハ共鳴という手法を用いて短距離力を弱めることで、双極子相互作用が支配的な BEC を実現させた。<sup>2)</sup>

このように、現在の実験ではスピン偏極した原子気体で双極子相互作用を相対的に強くして双極子効果を観測しているが、実は双極子相互作用が弱くても BEC にスピン自由度を持たせることで、その効果を顕著に引き出すことができる。以下ではそれを解説していく。

## 2. スピンと軌道の結合—AIN シュタインド・ハース効果—

まず、スピン自由度によって双極子相互作用が劇的に効いてくる例を紹介しよう。一様な外部磁場中にスピン偏極した BEC を用意する。双極子相互作用が短距離力に比べて十分弱ければ BEC の状態にほとんど影響を及ぼさず、この BEC は安定である。しかし、ここで突然外部磁場を切って BEC にスピン自由度を与えるとどうなるだろうか。BEC は双極子相互作用によって自発的に回転を始めるのである(図 2 参照)。

この現象は、双極子相互作用がスピン軌道結合相互作用であることに起因する。(1) 式にスピンと空間座標の内積 ( $F_j \cdot \hat{r}$ ) が含まれるため、双極子相互作用はスピン空間のみの回転に対して不变ではない。つまりスピン角運動量を保存しない。相互作用を不变に保つにはスピンと同時に実空間も回転させなくてはならず、これは、スピンと軌道を合成した全角運動量のみが保存されることを意味する。

磁場中ではスピンの方向が固定されてしまうが、磁場を切るとスピンは自由に方向を変えることができるようになる。もともとスpin偏極した BEC はトラップの形状に依存して非一様な双極子場を作っているため、個々の原子は

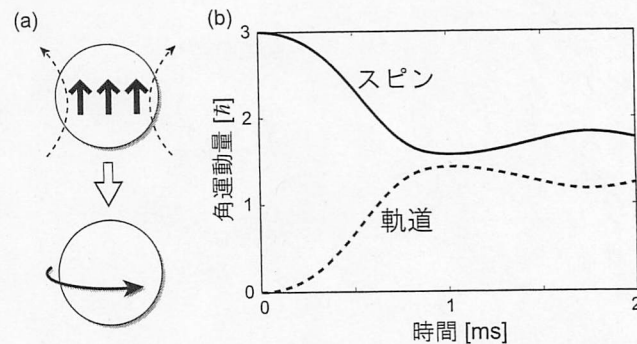


図 2 (a) トラップ中のスピン偏極した BEC は点線で示すような非一様の双極子場を作る。この双極子場の回りに原子スピンがラーモア歳差運動することによってスピン緩和が起こり、全角運動量を保存するように BEC は回転を始める。(b)  $^{52}\text{Cr}$  原子 BEC における 1 粒子あたりのスピン角運動量と軌道角運動量の時間変化。平均場近似を用いた数値シミュレーションによる。

その双極子場を感じてラーモア歳差運動を始める。その結果スピン緩和が起こり、全角運動量を保存するために BEC は軌道角運動量を得て回転を始める。このようにスピンから軌道へと角運動量が移り変わる現象は強磁性固体では磁気回転効果、またはAIN シュタインド・ハース効果として知られているが、図 2 の例はその BEC 版といえよう。<sup>3,4)</sup> その結果、波動関数は 1 つの巨視的なスピン渦状態になる。<sup>3)</sup>

このように BEC がスピン自由度を持つことで双極子相互作用の現れ方が全く異なってくる。そこで、次節ではスピン自由度を持った BEC (スピノル BEC) の基本的な性質を説明し、第 4, 5 節で温度に換算して 0.1 nK という非常に弱い双極子相互作用が基底状態やスピンダイナミクスを全く異なったものにすることを述べる。

## 3. 強磁性 BEC におけるベリーの位相とスピン・ゲージ対称性

BEC の秩序変数は巨視的な数の粒子が占有する一粒子状態の波動関数  $\psi(r)$  である。スピノル BEC の場合はこの一粒子状態が異なるスピン状態の重ね合わせになり、多成分の秩序変数で記述される。例えばスピン 1 の BEC の場合、磁気量子数  $m = 1, 0, -1$  に対応して秩序変数は 3 成分  $\Psi = (\psi_1, \psi_0, \psi_{-1})^T$  となる ( $T$  は転置行列)。スピノル BEC にはスピンの大きさやスピン交換相互作用によって様々な対称性を持つ相が存在するが、<sup>5)</sup> 以下では実験でもっともよく用いられるスピン 1 の  $^{87}\text{Rb}$  原子 BEC の場合について説明しよう。

スピン 1 の  $^{87}\text{Rb}$  原子 BEC は強磁性であるためゼロ磁場中で自発磁化を持つ。z 方向 (量子化軸の方向) に自発磁化を持った状態は、BEC の粒子数密度を  $\rho$  として、 $\Psi_0 = \sqrt{\rho}(1, 0, 0)^T$  と書ける。磁化は任意の方向に向いてよく、また秩序変数は任意の位相を取りうるので、強磁性 BEC の秩序変数の一般的な形は位相変換  $e^{i\theta}$  とオイラー回転  $\mathcal{U}(\alpha, \beta, \gamma)$  を  $\Psi_0$  に作用させた

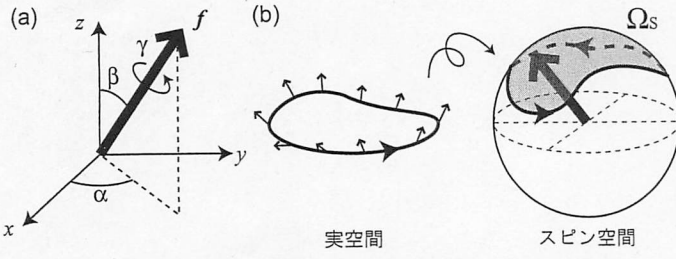


図3 (a) オイラー回転の回転角。 $\alpha, \beta$  が磁化  $f$  の方位角と天頂角を表す。  
(b) 実空間での閉経路に沿ったスピン方位の変化を単位球(スピニ1)上に描くと、 $\Omega_s$  は閉経路の囲む立体角、すなわちスピン方位の空間変化に伴うベリーの位相になる。

$$\Psi = e^{i\theta} U(\alpha, \beta, \gamma) \sqrt{\rho} (1, 0, 0)^T$$

$$= \frac{\sqrt{\rho}}{2} e^{i(\theta-\gamma)} \begin{pmatrix} e^{-i\alpha}(1+\cos\beta) \\ \sqrt{2}\sin\beta \\ e^{i\alpha}(1-\cos\beta) \end{pmatrix} \quad (2)$$

で与えられる。ここで、オイラー角  $(\alpha, \beta, \gamma)$  は図3(a)に示した通りで、 $\alpha, \beta$  が自発磁化の方位に対応している。また(2)式は  $\theta-\gamma$  を一定に保ちつつ  $\theta$  および  $\gamma$  を変えても不变であることから、秩序変数はスピンとゲージの結合した  $U(1)$  対称性を持つ。これをスピン・ゲージ対称性という。

一般には位相やオイラー角は空間座標に依存し、外場や双極子相互作用により空間構造が作られる。それに伴って BEC には次式で与えられる速度を持った超流動流が生じる。

$$v_s(r) = \frac{\hbar}{M\rho} \text{Im} \left[ \sum_m \psi_m^*(r) \nabla \psi_m(r) \right]$$

$$= \frac{\hbar}{M} [\nabla(\theta - \gamma - \alpha) + (1 - \cos\beta) \nabla\alpha] \quad (3)$$

ここで、 $M$  は原子の質量である。(3)式は通常の超流動速度と異なり位相の勾配のみでは書けないため、超流動の循環は量子化されない。しかし、右辺第二項の寄与  $\Omega_s = \oint (1 - \cos\beta) \nabla\alpha \cdot dl = \int d\alpha \int_0^{\beta(\alpha)} \sin\beta d\beta$  が経路に沿ったスピンの囲むベリーの位相(図3(b)参照)であることに着目すると、

$$M \oint v_s \cdot dl - \hbar \Omega_s = nh \quad (4)$$

という量子化条件が得られる( $n$  は整数)。特に系が軸対称な場合には、 $z$  軸(対称軸)を中心とした円を経路として取れば、

$$l_z + f_z n_\alpha \hbar = n_{\theta-\gamma} \hbar \quad (5)$$

という角運動量の関係式が得られる。ここで、 $l_z = (2\pi)^{-1} M \oint v_s \cdot dl$  と  $f_z = \cos\beta$ (軸対称性より経路上で一定値をとる)は経路上の超流動の軌道角運動量とスピン期待値(磁化)の  $z$  成分で、 $n_\alpha, n_{\theta-\gamma}$  は経路に沿った  $\alpha$  および  $\theta-\gamma$  の巻き付き数である。 $l_z, f_z$  は  $z$  軸からの距離に依存して変化してよいが、(5)式の右辺は不変に保たれる。

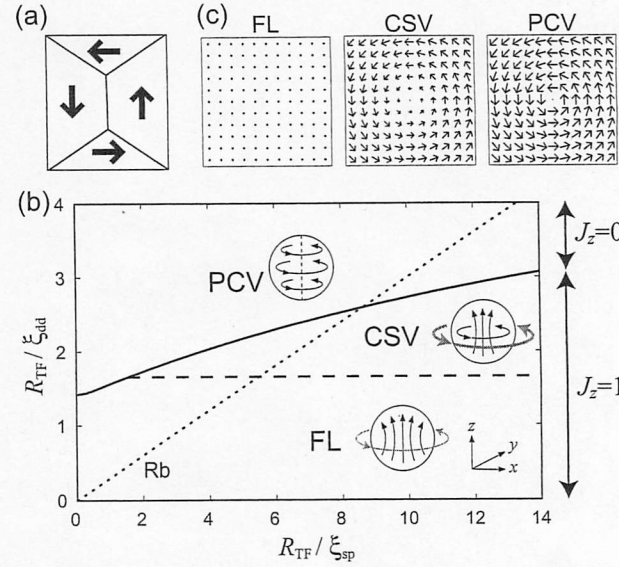


図4 (a) 2次元強磁性固体における還流構造。固体中で一様に磁化せず、磁化の発散がゼロとなる構造を作る。(b) 球形トラップ中における強磁性 BEC の基底状態。フラワー(FL)相、カイラスピン渦(CSV)相、ポーラーカア渦(PCV)相の3つの相が存在する。各領域に示した図は、黒矢印がスピンテクスチャ、灰色矢印が質量流の方向を示している。 $^{87}\text{Rb}$  原子 BEC は点線上を動く。(c) 各相における  $xy$  面内でのスピンテクスチャをこの面に投影した断面図。FL 相 → CSV 相 → PCV 相と進むにつれて還流構造が現れてくる(文献7より転載)。

#### 4. 回転する基底状態

前節の議論を踏まえて、まずゼロ磁場中での強磁性 BEC の基底状態を考えてみよう。双極子相互作用が無い場合は磁化が一様に揃った状態が安定となる。しかし、弱い双極子相互作用が存在すれば、強磁性状態を保ちつつスピンテクスチャ(スピンの空間構造)が形成される。これは強磁性固体中に磁区構造が生じるのと同じ物理である。ただし、強磁性 BEC が強磁性固体と大きく異なる点が1つある。それはスピンテクスチャに伴って(3)式で決まる超流動が生じるという点である。したがって、テクスチャの構造によっては基底状態で質量の循環流が存在することが可能になる。実際に基底状態の相図を調べてみるとそのようなテクスチャが生じていることがわかる。

相図について説明する前に、双極子相互作用によって作られるスピン構造について説明しておこう。強磁性固体は低磁場中では一様に磁化せず、内部に細かい磁区構造を作ることが知られている。安定な磁区構造は強磁性体の外部に磁場が漏れ出さないよう、磁化の発散がゼロとなるようなループ構造になっている<sup>6)</sup>(図4(a)参照)。これを還流構造と呼ぶ。強磁性 BEC においても同様に、双極子相互作用によってスピンテクスチャに還流構造ができる。このテクスチャに特徴的な長さスケールは、双極子エネルギー  $E_{dd}$  と運動エネルギーの釣合から決まる双極子緩和長  $\xi_{dd} \equiv \hbar / \sqrt{2ME_{dd}}$  である。したがって、BEC のサイズが  $\xi_{dd}$  よりも大きければ明確なテクスチャが形成される。テクスチャ中に磁気欠陥が生じる場合には、欠陥のサイズはスピン交換相互作用エネルギー  $E_{sp}$  で決まるスピン緩和長  $\xi_{sp} \equiv \hbar / \sqrt{2ME_{sp}}$  となる。これらの緩和長をパラメータとして球

形のトラップ中における基底状態の相図を描いたのが図4(b)である。<sup>7)</sup> ただし緩和長はBECのサイズ $R_{\text{TF}}$ (トーマス・フェルミ半径)でスケールした。

まず、相図は実線を境界として各粒子の全角運動量の対称軸への射影が $J_z=0, 1$ の2つに分けられる。第2節で述べた通り双極子相互作用は全角運動量を保存する相互作用である。(5)式で $n_\alpha=1$ とすると $I_z+f_z\hbar=J_z\hbar$ という全角運動量保存の式になることから、双極子相互作用の作るテクスチャは $n_\alpha=1$ であることがわかる。このとき、 $J_z \equiv n_{\theta-\gamma}$ が全角運動量の $z$ 成分である。双極子相互作用がゼロ( $R_{\text{TF}}/\xi_{dd}=0$ )のときは一様な方向に磁化するので、その方向を $z$ 軸として $I_z=0, f_z=1$ 、つまり $J_z=1$ である。実線より下の部分は $J_z=1$ を保ったままBEC自身の作る双極子場に合わせてスピントクスチャが生じており、相互作用の強さによってフラー(flower, FL)相とカイラルスピントン渦(chiral spin-vortex, CSV)相という2つの相が現れる。どちらの相も外側で $f_z$ が減少し、かわりに $I_z$ が増加する。つまり、これらの相では超流動の循環流が存在する。2相の違いは外側でのスピノの倒れ方で、CSV相は上から見たときに還流構造が現れる(図4(c)参照)。スピノの傾きが大きい分、CSV相の軌道角運動量はFL相に比べて大きい。一方、 $J_z=0$ の相では還流構造の中心に線状の磁気欠陥ができる、ポーラーコア渦(polar-core vortex, PCV)になっている。PCV相では $I_z=f_z=0$ であるため質量流は持たないが、上向きスピノ( $m=1$ )と下向きスピノ( $m=-1$ )がちょうど逆向きに流れしており、定常なスピントン流が存在する。

<sup>87</sup>Rb原子BECは相図中で点線上に位置し、粒子数を増やすと左下から右上へ動く。したがって、3つの相全てを<sup>87</sup>Rb原子BECで実現することが可能である。特にCSV相では巨視的な軌道角運動量を持ち、1原子あたり最大で約 $0.4\hbar$ まで増加する。<sup>7)</sup>これは基底状態が通常の量子渦1本の持つ角運動量の40%という大きな軌道角運動量を持って回転していることを意味している。しかし、残念ながらこのような現象はまだ観測には至っていない。それは外部磁場が強すぎるためである。双極子相互作用のスピントン結合という性質を見るには外部磁場を双極子場と同程度の強さまで抑える必要がある。<sup>87</sup>Rb原子の場合、双極子場の強さはわずか $10\mu\text{G}$ しかなく、日本での地磁気が約 $500\text{ mG}$ であることを考えると双極子場が非常に弱いことがわかるであろう。基底状態における超流動の循環流は数 $10\mu\text{G}$ という超低磁場下ではじめて現れる性質なのである。ただし、質量流を伴わない効果であれば磁場中であっても観測できる。その方法を次節で紹介する。

## 5. 磁場中のテクスチャ形成とスピントン流

外部磁場が双極子場よりも十分強ければ、原子スピノは高速でラモア歳差運動を起こすため、その周期で時間平均をとった実効的な双極子相互作用が働く。<sup>8)</sup> この実効的

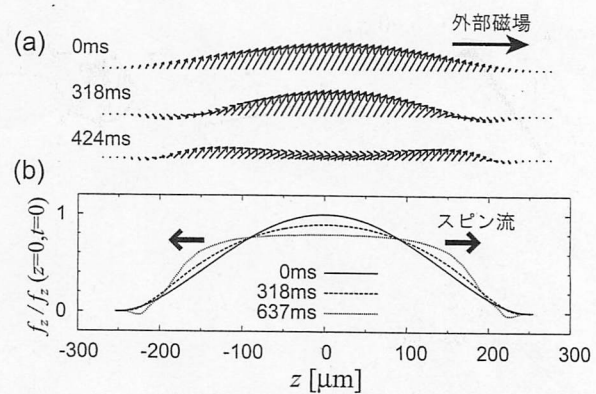


図5 (a) 磁場下の<sup>87</sup>Rb原子のBEC中でスピントクスチャが形成される様子。図は紙面にスピノを投影したものであるが、3次元的には左右で逆向きのらせん構造になっている。(b) 縦磁化の時間変化。初期状態は密度の空間分布に比例している。(a) のらせん構造に伴ってスピントン流が生じた結果、縦磁化の分布が時間変化する。

な相互作用にはスピノと軌道を結合させる効果はないが、異方的長距離力という性質は残っており、やはりスピントクスチャを形成する。

双極子相互作用の効果を見るには具体的に次のような実験を行えばよい。葉巻型のトラップを用意し、長軸方向に磁場をかけてその方向にスピノ偏極したBECをつくる。このBECにrf磁場をかけてスピノの偏極方向を磁場の軸から傾ける。するとスピノはラモア歳差運動を始めるが、BEC自身の作る双極子場が非一様であるために、歳差運動は空間的に非一様になる。したがって時間とともにスピノの方位にずれが生じて、図5(a)に示すようならせん型のテクスチャが形成される。このテクスチャは質量流を伴わないがスピントン流は発生し、磁場の強い方へと縦磁化が流れで磁化の分布が変化する(図5(b)参照)。これまでアルカリ原子のBECにおける磁気双極子相互作用は非常に弱いため無視されてきたのだが、このダイナミクスは、たとえ磁場中であっても双極子相互作用を無視できないという明確な例になっている。

## 6. おわりに

本稿ではスピノ自由度を持ったBECにおける双極子相互作用について解説してきた。双極子相互作用の異方的長距離力という特徴は、スピノルBEC中にスピントクスチャを形成する。これまでの研究では、アルカリ原子のBECにおける磁気双極子相互作用は非常に弱いために無視されてきたのだが、スピノ自由度を持つ場合には、たとえ磁場中であっても無視することはできず、基底状態やスピノダイナミクスを変える効果があることが筆者らの一連の研究により明らかになった。<sup>3, 7, 8)</sup> 特に、数 $10\mu\text{G}$ という超低磁場まで実験で到達できれば、双極子相互作用のスピントン結合相互作用という特徴により、スピノから軌道へと角運動量が移るダイナミクス(インシュタインード・ハース効果)や、軌道角運動量を持った基底状態の観測が期待される。

最後に当該分野の最近の研究動向について述べる。昨年<sup>52</sup>Cr原子BECで双極子相互作用による異方的な崩壊現象が観測された。<sup>9)</sup>筆者らの行った平均場近似による数値計算はフィッティングパラメータなく定量的に実験と一致し、スピン偏極している場合には相互作用が長距離的であっても平均場近似が有効であることが検証された。<sup>9)</sup>一方で、平均場近似を超えたスピノルBECの議論も興味深い。平均場近似の範囲では、双極子相互作用は局所的なスピン期待値の間の相互作用であるので、スピン期待値がゼロとなる相ではほとんど影響がない。しかし、ポーラー相やサイクリック相として知られる自発磁化を持たない相の多体波動関数は、スピン空間における全スピン角運動量ゼロのペアやトリオがボース凝縮した状態であることが知られており、<sup>10)</sup>双極子相互作用まで考慮すると、このペアやトリオの構造が変わる可能性がある。また、長距離相互作用する系では非対角長距離秩序（超流動）と対角長距離秩序（密度の周期パターン）との共存する超固体状態が安定になると言われている。双極子相互作用するBECはまさにそのような系に相当し、光格子中における超固体相の存在が予言されている。<sup>11)</sup>実験でもUCバークレーのグループが<sup>87</sup>Rb原子のBECで規則的な磁気ドメインが形成される様子を観測し、磁気超固体である可能性を示唆している。<sup>12)</sup>また、筆者らは2成分の磁気量子流体で古典的な磁性流体に似たスパイク構造が生じることを見出し、BECが回転しているにもかかわらずスパイク構造が静止するという現象を発見した。<sup>13)</sup>これはまさに、超流動と密度パターンの共存現象といえる。異方的長距離相互作用という新しい性質を持ったBECにはまだまだ豊富な物理が隠されているようである。

## 参考文献

- 1) A. Griesmaier, et al.: Phys. Rev. Lett. **94** (2005) 160401.
- 2) Th. Lahaye, et al.: Nature **448** (2007) 672.
- 3) Y. Kawaguchi, H. Saito and M. Ueda: Phys. Rev. Lett. **96** (2006) 080405.
- 4) L. Santos and T. Pfau: Phys. Rev. Lett. **96** (2006) 190404.
- 5) T.-L. Ho: Phys. Rev. Lett. **81** (1998) 742; T. Ohmi and K. Machida: J. Phys. Soc. Jpn. **67** (1998) 1822; C. V. Ciobanu, S.-K. Yip and T.-L. Ho: Phys. Rev. A **61** (2000) 033607.
- 6) Landau and Lifshitz: *Electrodynamics of Continuous Media* (Butterworth-Heinemann, 1984).
- 7) Y. Kawaguchi, H. Saito and M. Ueda: Phys. Rev. Lett. **97** (2006) 130404.
- 8) Y. Kawaguchi, H. Saito and M. Ueda: Phys. Rev. Lett. **98** (2007) 110406.
- 9) Th. Lahaye, et al.: Phys. Rev. Lett. **101** (2008) 080401.
- 10) M. Ueda and M. Koashi: Phys. Rev. A **65** (2002) 063602; T.-L. Ho and S.-K. Yip: *ibid.* **84** (2000) 4031.
- 11) K. Góral, L. Santos and M. Lewenstein: Phys. Rev. Lett. **88** (2002) 170406.
- 12) M. Vengalattore, et al.: Phys. Rev. Lett. **100** (2008) 170403.
- 13) H. Saito, Y. Kawaguchi and M. Ueda: Phys. Rev. Lett. **102** (2009) 230403.

(2009年2月12日原稿受付)

## Spinor Dipolar Bose-Einstein Condensates

Yuki Kawaguchi, Hiroki Saito and Masahito Ueda

**abstract:** Magnetic dipole-dipole interaction in atomic Bose-Einstein condensates (BECs) can induce spin textures, even though it is weaker than other interactions. The key feature of the dipolar interaction is that it is spin-orbit coupling interaction which conserves total angular momentum. Therefore, at extremely low magnetic field, an initially spin-polarized BEC starts rotating spontaneously. Moreover, spin textures develop in the ground state, leading to spontaneous mass current. Such dipolar effect should be observed in a spinor BEC of <sup>87</sup>Rb atoms.

## 最近の研究から

# 超音速希ガス原子衝突による表面吸着分子の摩擦に関する研究

高岡毅 〈東北大学多元物質科学研究所 980-8577 仙台市青葉区片平2-1-1 e-mail: takaoka@tagen.tohoku.ac.jp〉

米田忠弘 〈東北大学多元物質科学研究所 980-8577 仙台市青葉区片平2-1-1 e-mail: komeda@tagen.tohoku.ac.jp〉

固体表面に吸着した分子に働く摩擦は、表面への分子の吸着過程や表面拡散過程のダイナミクスに関わる非常に重要な物性であり、分子運動の寿命やエネルギー散逸とも密接な関係がある。さらにその機構解明と制御は、分子デバイスの開発や機械摩擦低減等とも関連する。本研究では、超音速分子線を用いてエネルギー制御した希ガス原子を分子吸着表面に照射したときに引き起こされる分子の拡散を解析し、表面吸着分子の摩擦を観測した。

### はじめに

我々は、白金(Pt)表面に吸着した一酸化炭素(CO)分子が表面上を移動する際に受けた摩擦(動摩擦)を観測した。この表面吸着分子に働く動摩擦は、分子が進む方向と

反対の方向に働く力で大きさは速度に比例する。<sup>1-3)</sup>しかし、我々が通常、思い浮かべる動摩擦は、平らな机の上の物体を滑らせるのに必要な力であり、摩擦力は速度に依存せず、物体の重さに比例する、というものであった<sup>4,5)</sup>(図